

**АКАДЕМИЯ НАУК СССР
УРАЛЬСКИЙ НАУЧНЫЙ ЦЕНТР
ИНСТИТУТ МАТЕМАТИКИ И МЕХАНИКИ**

**АЛГОРИТМЫ И ПРОГРАММЫ
РЕШЕНИЯ ЛИНЕЙНЫХ
ДИФФЕРЕНЦИАЛЬНЫХ ИГР**

(Материалы по математическому обеспечению ЭВМ)

Свердловск 1984

Е.А.Исакова, Г.В.Логунова, В.С.Пацко

ПОСТРОЕНИЕ СТАБИЛЬНЫХ МОСТОВ В ЛИНЕЙНОЙ
ДИФФЕРЕНЦИАЛЬНОЙ ИГРЕ С ФИКСИРОВАННЫМ
МОМЕНТОМ ОКОНЧАНИЯ

I. Постановка задачи

Рассматривается линейная позиционная игра

$$\dot{x} = Ax + Bu + Cv \quad (I)$$

с фиксированным моментом окончания ϑ . Здесь $x \in R^n$ - фазовый вектор, A, B, C - постоянные матрицы размерностей $n \times n$, $n \times k$, $n \times e$ соответственно. Управляющий параметр u первого игрока в каждый момент $t \leq \vartheta$ выбирается из множества $\mu(t)P$, управляющий параметр v второго игрока - из множества $\nu(t)Q$. Множества P, Q - многогранники в пространствах R^k , R^e , скалярные функции $\mu(\cdot), \nu(\cdot)$ линейные:

$$\mu(t) = a + bt, \quad \nu(t) = c + dt.$$

Выделим две координаты x_α, x_β фазового вектора x . Будем считать, что цель первого игрока - привести в момент ϑ выделенные координаты на заданное множество M $\subset R^2$, т.е. обеспечить включение

$$\begin{pmatrix} x_{\alpha}(\vartheta) \\ x_{\beta}(\vartheta) \end{pmatrix} \in M . \quad (2)$$

Интересы второго игрока противоположны. Условимся, что M - выпуклый, замкнутый, ограниченный многоугольник. Требуется найти множество W всех начальных позиций (t_*, x_*) , для каждой из которых первый игрок, используя позиционный способ управления [2], может гарантировать в момент ϑ включение (2). Следуя [2], будем называть W множеством позиционного поглощения или максимальным стабильным мостом.

Описанная дифференциальная игра n -го порядка эквивалентна [2,5] дифференциальной игре 2-го порядка

$$\dot{x} = X_{\alpha, \beta}(\vartheta, t)Bu + X_{\alpha, \beta}(\vartheta, t)Cv , \quad (3)$$

где $X_{\alpha, \beta}(\vartheta, t)$ - матрица, составленная из α и β -ой строк фундаментальной матрицы Коши $X(\vartheta, t)$, соответствующей матрице A . Ограничения на управляющие параметры u , v в игре (3) такие же, как в игре (I). Момент окончания равен ϑ , целевое множество совпадает с M .

Поскольку матрица A постоянна, то матрица $X(\vartheta, t)$ зависит лишь от разности $\vartheta - t$. Введем обратное время $\tau = \vartheta - t$. Тогда система (3) и ограничения на управляющие параметры игроков перепишутся в виде

$$\dot{y} = -Y(\tau)Bu - Y(\tau)Cv , \quad (4)$$

$$Y(\tau) = X_{\alpha, \beta}(\vartheta, \tau), u \in \mu(\vartheta - \tau)P, v \in \nu(\vartheta - \tau)Q .$$

Пусть \tilde{W} - максимальный стабильный мост для игры (4), т.е. множество всех начальных позиций (τ_*, y_*) , для каждой из которых разрешима задача первого игрока о приведении фазового вектора в момент $\tau = 0$ на множество M . Положим

$$W_t = \{x \in R^n : (t, x) \in \tilde{W}\}, t \leq \vartheta,$$

$$\tilde{W}_\tau = \{y \in R^2 : (\tau, y) \in \tilde{W}\}, \tau \geq 0 .$$

Справедливо соотношение [2,5]

$$W_t = \{x \in R^n : Y(\vartheta - t)x \in \tilde{W}_{\vartheta - t}\} .$$

Описываемая ниже программа предназначена для построения множеств \tilde{W}_τ . В качестве входной информации задаются матрицы A , B , C , вершины многогранников P , Q , вершины многоугольника M , числа a , b , c , d , определяющие функции $\mu(\cdot)$, $\nu(\cdot)$, шаг Δ попятной процедуры.

2. Описание основного алгоритма

Пусть $\tau_0 = 0$, $\tau_{i+1} = \tau_i + \Delta$
 $i = 0, 1, 2, \dots$, разбиение полусоси $t \geq 0$ с шагом
 $\Delta > 0$. Положим

$$Y^*(\tau) = Y(\tau_i), \mu^*(\tau) = \mu(\vartheta - \tau_i), \nu^*(\tau) = \nu(\vartheta - \tau_i),$$

$$\tau \in [\tau_i, \tau_{i+1}), i = 0, 1, 2, \dots$$

Заменим игру (4) аппроксимирующей дифференциальной игрой

$$\dot{y} = -Y^*(\tau)Bu - Y^*(\tau)Cv, \quad (5)$$

$$u \in \mu^*(\tau)P, v \in \nu^*(\tau)Q$$

с фиксированным моментом окончания $\tau = 0$ и целевым множеством M . Пусть W^* — максимальный стабильный мост для игры (5) и

$$W_\tau^* = \{y \in R^2 : (\tau, y) \in W^*\}, \tau \geq 0.$$

При любом $\tau \geq 0$ множество W_τ^* — выпуклый, замкнутый, ограниченный многоугольник [2, 4]. Оценки близости W_τ^* к \tilde{W}_τ в метрике Хаусдорфа имеются в работах [1, 3]. Положим

$$P_i^* = \varphi^*(\tau_i)Y^*(\tau_i)BP, Q_i^* = \varphi^*(\tau_i)Y^*(\tau_i)CQ,$$

$$W_i^* = W_{\tau_i}^*, i = 0, 1, 2, \dots$$

$$\text{Заметим, что } W_0^* = M.$$

Опорная функция \mathcal{Z}_{i+1}^* множества W_{i+1}^* ,
 $i = 0, 1, 2, \dots$, есть [4] выпуклая оболочка функции

$$\mathcal{Z}_{i+1}^*(\ell) = \max_{m \in W_i^*} \langle \ell, m \rangle + \max_{p \in -\Delta P_i^*} \langle \ell, p \rangle - \max_{q \in \Delta Q_i^*} \langle \ell, q \rangle, \ell \in R^2.$$

Поскольку W_i^* , P_i^* , Q_i^* — выпуклые многоугольники (возможно вырождение в точку или отрезок), то положительно-однородная функция \mathcal{Z}_{i+1}^* — кусочно-линейная, и ее выпуклая оболочка может быть найдена точно после конечного числа итераций. При нахождении выпуклой оболочки используем также то свойство, что "локальная выпуклость" функции \mathcal{Z}_{i+1}^* может нарушаться лишь вблизи направлений, определяемых внешними нормалями к многоугольнику Q_i^* . Такая функция \mathcal{Z}_{i+1}^* , легко определить многоугольник W_{i+1}^* .

Пусть M , P , Q — выпуклые, замкнутые многоугольники (допускается вырождение в точку или отрезок). Опишем способ построения выпуклой оболочки φ^* функции φ , заданной на плоскости формулой

$$\varphi(\ell) = \max_{m \in M} \langle \ell, m \rangle + \max_{p \in P} \langle \ell, p \rangle - \max_{q \in Q} \langle \ell, q \rangle. \quad (6)$$

Этот способ используется в программе для построения выпуклой оболочки \mathcal{L}_{i+1}^* функции \mathcal{L}_{i+1} .

Введем вспомогательные понятия и обозначения. Для произвольного набора K единичных векторов на плоскости пусть $h(K)$ — количество векторов в наборе. Говоря о нумерации векторов в наборе, условимся вводить ее всегда против часовой стрелки. Пусть ℓ_i — вектор из K с номером i . Положим $\ell_{h(K)+1} = \ell_1$, $\ell_0 = \ell_{h(K)}$.

Скажем, что набор K обладает свойством F , если $h(K) \geq 3$ и при любом $i = 1, 2, \dots, h(K)$ угол между векторами ℓ_i , ℓ_{i+1} , отсчитываемый против часовой стрелки от ℓ_i к ℓ_{i+1} , меньше π .

Для любых единичных векторов ℓ_* , ℓ^* ($\ell_* \neq -\ell^*$) на плоскости символом $\Lambda(\ell_*, \ell^*)$ обозначим наименьший выпуклый, замкнутый конус с вершиной в нуле, содержащий ℓ_* и ℓ^* .

Пусть $N(M)$, $N(P)$, $N(Q)$ — совокупности единичных внешних нормалей к многоугольникам M , P , Q . Положим $L = N(M) \cup N(P) \cup N(Q)$. Для дальнейшего нам нужно, чтобы набор L обладал свойством F . Удобно также, чтобы каждое из множеств $N(M)$, $N(P)$, $N(Q)$ содержало не менее двух векторов, и в случае двух векторов они были бы противоположно направлены. Эти условия выполнены,

если многоугольники M , P , Q невырожденные. При вырождении какого-либо из трех многоугольников в точку или отрезок условимся сопоставлять ему в качестве множества нормалей совокупность из двух или более единичных векторов, причем так, чтобы набор L обладал свойством F . Когда число сопоставляемых векторов равно двум, будем брать их противоположно направленными. Если многоугольник вырождается в отрезок, потребуем, чтобы среди сопоставляемых векторов были векторы, ортогональные отрезку.

Из формулы (6) следует, что функция φ непрерывна, и при любом $1 \leq i \leq h(L)$ ее сужение на конус $\Lambda(\ell_i, \ell_{i+1})$ есть линейная функция. Кроме того, выпуклым является сужение φ на любой выпуклый конус с вершиной в нуле, не содержащий в своей внутренности векторов из $N(Q)$.

Для нахождения выпуклой оболочки φ^* функции φ построим конечную последовательность заданных на плоскости числовых функций $\varphi^{(k)}$, $k = 0, 1, 2, \dots$. Примем $\varphi^{(0)} = \varphi$. Наряду с функциями $\varphi^{(k)}$ будем строить наборы векторов $L^{(k)} \subset L$ и $E^{(k)} \subset L^{(k)}$. Положим $L^{(0)} = L$, $E^{(0)} = N(Q)$.

Пусть при некотором $\beta \geq 0$ построены функция $\varphi^{(\beta)}$, упорядоченные против часовой стрелки наборы $L^{(\beta)}$, $E^{(\beta)}$ и выполнены условия:

- а) набор $L^{(\beta)}$ обладает свойством F ,
- б) функция $\varphi^{(\beta)}$ непрерывна, и при любом $1 \leq i \leq h(L^{(\beta)})$ ее сужение на конус $\Lambda(\ell_i^{(\beta)}, \ell_{i+1}^{(\beta)})$ ($\ell_j^{(\beta)}$ — вектор из $L^{(\beta)}$ с номером j) есть линейная функция,
- в) сужение $\varphi^{(\beta)}$ на любой выпуклый конус с вершиной

в нуле, не содержащий в своей внутренности векторов из $E^{(s)}$, есть выпуклая функция.

Перечисленным условиям, как отмечено выше, удовлетворяет функция $\varphi^{(o)} = \varphi$ и наборы $L^{(o)} = L$, $E^{(o)} = N(Q)$. Опишем правило перехода от $\varphi^{(s)}$, $L^{(s)}$, $E^{(s)}$ к $\varphi^{(s+1)}$, $L^{(s+1)}$, $E^{(s+1)}$.

Скажем, что функция $\varphi^{(s)}$ выпукла вблизи некоторого единичного вектора $y \in R^2$, если существует такой выпуклый конус S с вершиной в нуле, содержащий y в своей внутренности, что сужение $\varphi^{(s)}$ на S выпукло.

Перебирая все векторы из $E^{(s)}$, проверим выпуклость $\varphi^{(s)}$ вблизи каждого из них. Пусть e - произвольный вектор из $E^{(s)}$. Поскольку $E^{(s)} \subset L^{(s)}$, то вектор e совпадает при некотором $1 \leq z \leq h(L^{(s)})$ с вектором $\ell_z^{(s)}$ из $L^{(s)}$. Для проверки выпуклости $\varphi^{(s)}$ вблизи вектора $e = \ell_z^{(s)}$ рассмотрим соседние к $\ell_z^{(s)}$ в $L^{(s)}$ векторы $\ell_{z-1}^{(s)}$, $\ell_{z+1}^{(s)}$ и найдем точку y_* пересечения прямых

$$\langle \ell_{z-1}^{(s)}, x \rangle = \varphi^{(s)}(\ell_{z-1}^{(s)}), \quad \langle \ell_z^{(s)}, x \rangle = \varphi^{(s)}(\ell_z^{(s)}).$$

Если $\langle \ell_{z+1}^{(s)}, y_* \rangle \geq \varphi^{(s)}(\ell_{z+1}^{(s)})$, то функция $\varphi^{(s)}$ выпукла вблизи вектора e . Если $\langle \ell_{z+1}^{(s)}, y_* \rangle < \varphi^{(s)}(\ell_{z+1}^{(s)})$, она не является выпуклой. Это утверждение следует из непрерывности $\varphi^{(s)}$ и линейности ее на конусах $\Lambda(\ell_z^{(s)}, \ell_{z+1}^{(s)})$, $\Lambda(\ell_{z-1}^{(s)}, \ell_z^{(s)})$.

Пусть $D^{(s)} \subset E^{(s)}$ - совокупность всех векторов из $E^{(s)}$, вблизи которых $\varphi^{(s)}$ не является выпуклой. Если $D^{(s)} = \emptyset$, то функцию $\varphi^{(s+1)}$ и наборы $L^{(s+1)}$, $E^{(s+1)}$ не строим. Если $D^{(s)} \neq \emptyset$, рассмотрим набор $L^{(s)} \setminus D^{(s)}$. В случае, когда он не обладает свойством F , тройку $\varphi^{(s+1)}$, $L^{(s+1)}$, $E^{(s+1)}$ также не строим. Пусть набор $L^{(s)} \setminus D^{(s)}$ обладает свойством F . Положим $L^{(s+1)} = L^{(s)} \setminus D^{(s)}$. В качестве $E^{(s+1)}$ возьмем совокупность всех векторов из $L^{(s+1)}$, каждый из которых является соседним в $L^{(s)}$ к какому-либо вектору из $D^{(s)}$. Функцию $\varphi^{(s+1)}$ на плоскости определим при помощи условий: 1) $\varphi^{(s+1)}(\ell) = \varphi^{(s)}(\ell)$ для $\ell \in L^{(s+1)}$, 2) сужение $\varphi^{(s+1)}$ на любой конус $\Lambda(\ell_z^{(s+1)}, \ell_{z+1}^{(s+1)})$, $1 \leq z \leq h(L^{(s+1)})$, есть линейная функция. Не трудно видеть, что для тройки $\varphi^{(s+1)}$, $L^{(s+1)}$, $E^{(s+1)}$ выполнены свойства, аналогичные свойствам а), в), с), оговоренным для тройки $\varphi^{(s)}$, $L^{(s)}$, $E^{(s)}$.

Применяя описанное правило перехода от $\varphi^{(s)}, L^{(s)}, E^{(s)}$ к $\varphi^{(s+1)}, L^{(s+1)}, E^{(s+1)}$, построим последовательно тройки $\varphi^{(k)}, L^{(k)}, E^{(k)}$, $k = 0, 1, 2, \dots$. Процесс построения конечен. А именно, он заканчивается либо на некотором номере j , для которого $D^{(j)} = \emptyset$, либо на номере j , для которого $L^{(j)} \setminus D^{(j)}$ не обладает свойством F . В первом случае функция $\varphi^{(j)}$ выпукла и совпадает с выпуклой оболочкой φ^* функции φ . Во втором функция φ не имеет выпуклой оболочки. Последнее равнозначно тому, что пересечение

$$\bigcap_{\ell \in L} \{y : \langle \ell, y \rangle \leq \varphi(\ell)\}$$

совпадающее при каждом $k = 0, 1, 2, \dots, j$ с переоцениванием

$$\bigcap_{\ell \in L^{(k)}} \{y : \langle \ell, y \rangle \leq \varphi^{(k)}(\ell)\},$$

является пустым.

Таким алгоритм овыпукления функции φ . Подчеркнем, что на каждом шаге k итерационного процесса овыпукления информация о кусочно-линейной функции $\varphi^{(k)}$ состоит из упорядоченного против часовой стрелки набора векторов $L^{(k)}$, определяющего разбиение плоскости на конусы линейности, и набора значений функции $\varphi^{(k)}$ на векторах этого набора. Указывается также набор $E^{(k)} \subset L^{(k)}$ "подозрительных" векторов, где может нарушаться "локальная выпуклость" функции $\varphi^{(k)}$. Переход к следующей функции $\varphi^{(k+1)}$ осуществляется за счет подправки функции $\varphi^{(k)}$ вблизи тех векторов набора $E^{(k)}$, где $\varphi^{(k)}$ не является выпуклой.

Для применения описанного алгоритма овыпукления при нахождении выпуклой оболочки \mathcal{D}_{i+1}^* функции \mathcal{D}_{i+1} следует положить

$$\varphi = \mathcal{D}_{i+1}, \varphi^* = \mathcal{D}_{i+1}^*, M = W_i^*, P = -\Delta P_i^*, Q = \Delta Q_i^*.$$

Если при этом процесс построения $\varphi^* = \mathcal{D}_{i+1}^*$ заканчивается на номере j и $D^{(j)} = \varphi$ (т.е. $\varphi^* = \varphi^{(j)}$),

то вершины многоугольника W_{i+1}^* получаются как точки последовательного пересечения прямых $\langle \ell_i^{(j)}, y \rangle = \varphi^{(j)}(\ell_i^{(j)})$, $1 \leq j \leq h(L^{(j)})$.

3. Алгоритм сборки нормалей, просчет значений овипуклой функции

В алгоритме построения выпуклой оболочки φ^* функции φ использовалось упорядоченное против часовой стрелки множество L нормалей, снятых с многоугольников M, P, Q . Опишем операцию сборки нормалей и способ подсчета значений функции φ по формуле (6).

Предположим, что установлено соответствие между номерами нормалей и вершинами многоугольников M, P, Q . Принцип соответствия ясен из рис. 1. Перенумеруем нормали (и соответственно вершины) многоугольников P, Q так, чтобы номер I в $N(P)$ и $N(Q)$ имели нормали, ближайшие по углу слева к первой нормали из $N(M)$. Символом \bar{m}_i обозначим вектор из $N(M)$ с номером i , пусть \bar{p}_i, \bar{q}_i — векторы с номером i из $N(P), N(Q)$ (в новой нумерации). Для обозначения вершин применим символы m_i, p_i, q_i (рис. 2).

Множество L формируется следующим образом. Среди векторов $\bar{m}_1, \bar{p}_1, \bar{q}_1$ по построению правее двух других по углу лежит вектор \bar{m}_2 (возможно совпадение \bar{m}_1 с \bar{p}_1 или \bar{q}_1). Вектор \bar{m} записываем в L под номером I. Если \bar{m}_1 было отлично от \bar{p}_1, \bar{q}_1 , то следующая тройка векторов состоит из $\bar{m}_2, \bar{p}_1, \bar{q}_1$. Если

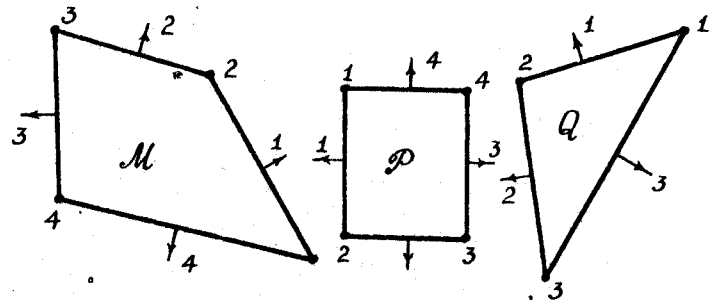


Рис. 1

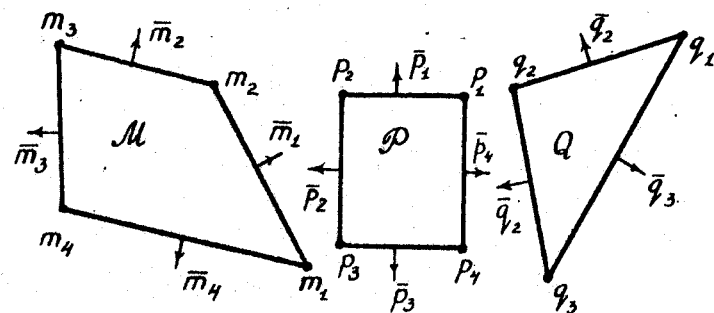


Рис. 2

если \bar{m}_1 совпадало с \bar{p}_1 или \bar{q}_1 , то при составлении новой тройки заменим не только \bar{m}_1 на \bar{m}_2 , но и совпадающий с \bar{m}_1 вектор на вектор с номером 2 из того же множества. Так, при $\bar{m}_1 = \bar{p}_1$, $\bar{m}_1 \neq \bar{q}_1$ новая тройка будет \bar{m}_2 , \bar{p}_2 , \bar{q}_1 . Если $\bar{m}_1 = \bar{p}_1 = \bar{q}_1$, то новая тройка состоит из векторов \bar{m}_2 , \bar{p}_2 , \bar{q}_2 . Анализируя тройку, полученную на втором шаге, выделяем из нее правый по углу вектор и записываем его под номером 2 в \mathcal{L} . Составляем далее третью тройку и т.д. Исчерпав векторы какого-либо из множеств $N(M)$, $N(P)$, $N(Q)$, в очередную тройку записываем первый вектор этого множества. Процесс сборки заканчиваем при получении тройки, состоящей (как и первая тройка) из векторов \bar{m}_1 , \bar{p}_1 , \bar{q}_1 .

Для нормалей рис. 2 порядок сборки таков: \bar{m}_1 , \bar{m}_2 ,

\bar{p}_1 , \bar{q}_1 , \bar{m}_3 , \bar{q}_2 , \bar{m}_4 ,

\bar{p}_3 , \bar{q}_3 , \bar{p}_4 .

При выборе очередного вектора ℓ_i для записи в набор \mathcal{L} параллельно на нем просчитывается значение $\varphi(\ell_i)$. Пусть \bar{m}_i , \bar{p}_i , \bar{q}_i — тройка, из которой на i -ом шаге сборки выбран вектор ℓ_i . Учитывая соответствие между нормальми и вершинами многоугольников M , P , Q , имеем

$$\varphi(\ell_i) = \langle \ell_i, \bar{m}_i \rangle + \langle \ell_i, \bar{p}_i \rangle - \langle \ell_i, \bar{q}_i \rangle.$$

3. Краткая характеристика программы

Программа написана на языке ФОРТРАН-ДУБНА для БЭСМ-6. Имя головной программы *IGRA*, подпрограммы: *FU*, *PAZP*, *BIVOP*, *NORMAN*, *PAZB*, *GATHER*, *A*, *BOF*, *PPOB*, *ZET*. Для интегрирования системы дифференциальных уравнений (5) используется программа из библиотеки стандартных программ ОИЯИ ДУБНА.

Программа *IGRA* предназначена для приближенного построения множеств \tilde{W}_{τ_i} для заданных моментов обратного времени τ_i . Допускается в качестве целевого множества M , многогранников P , Q брать отрезок или точку. Предусмотрена возможность умножения M на коэффициент $\gamma > 0$, что соответствует замене целевого множества M в игре (3) на множество $\gamma \cdot M$.

Используемые переменные

- N - порядок системы (I),
- $AA(10,10)$ - матрица A системы (I),
- $CC(10,10)$ - матрица C системы (I),
- $BB(10,10)$ - матрица B системы (I),
- MB - размерность вектора $p \in P$,
- MC - размерность вектора $q \in Q$,
- KB - количество вершин многоугольника P ,
- $P(10,50)$ - массив вершин многоугольника P ,
- KC - число вершин многоугольника Q ,
- $Q(10,50)$ - массив вершин многоугольника Q ,
- DL - шаг Δ по оси времени,
- TK - момент окончания игры ϑ ,

- NTN - число моментов обратного времени, в которые происходит выдача результатов на печать,
- $TN(40)$ - массив моментов обратного времени, в которые происходит выдача на печать результатов счета,
- MG - число вершин многоугольника W_i^* ,
- $GB1(1000)$, $GB2(1000)$ - массивы, содержащие первые и вторые координаты вершин многоугольника W_i^* на i -ом шаге попятной процедуры,
- $GN1(1000)$, $GN2(1000)$ - массивы, содержащие первые и вторые координаты нормалей к многоугольнику W_i^* ,
- KNG - число нормалей к W_i^* ,
- $PB1(40)$, $PB2(40)$ - массивы, содержащие первые и вторые координаты вершин многоугольника P_i^* ,
- MP - число вершин P_i^* ,
- $PN1(40)$, $PN2(40)$ - массивы первых и вторых координат нормалей к многоугольнику $-P_i^*$,
- KNP - число нормалей к многоугольнику $-P_i^*$,
- $QB1(40)$, $QB2(40)$ - массивы первых и вторых координат вершин многоугольника Q_i^* ,
- MQ - число вершин Q_i^* ,
- $QN1(40)$, $QN2(40)$ - массивы первых и вторых координат векторов нормалей к многоугольнику Q_i^* ,
- KNQ - число нормалей к многоугольнику Q_i^* ,
- $F(1000)$ - массив значений функции φ_i на векторах $\ell \in L$,
- MDL - максимально допустимое число нормалей в L ,

ICT, JCT - номера α, β двух координат фазового вектора x , которые надо привести на множество M .
 $TT1, TT2$ - коэффициенты a, b , определяющие функцию $\mu(t)$.
 $TT3, TT4$ - коэффициенты c, d , определяющие функцию $\nu(t)$.
 $R(2,10)$ - массив, в котором содержатся элементы матрицы $V(\tau_i)$.
 OS - множитель Y перед M .

Ввод данных и вывод результатов

Основная часть исходных данных вводится с перфокарт. Исключение составляет множество M , которое вводится посредством обращения к подпрограмме $PAZB$. Обращение имеет вид:

`CALL PAZB(OS,MG)`

Подпрограмма $PAZB$ должна иметь следующую форму:

```

SUBROUTINE PAZB(OS,MG)
COMMON /G/X,Y
DIMENSION X(1000), Y(1000)
  
```

{ операторы, осуществляющие вычисление первых и вторых координат вершин M , засыпку их в массивы X, Y . MG - число вершин многоугольника
 $M = W_o^*$
 $RETURN$
 END

Необходимо, чтобы вершины M были расположены в массивах X, Y против часовой стрелки.

Порядок ввода остальной информации указан в таблице. Элементы матриц располагаются на перфокартах по строкам. Если информация умещается на одной карте, то в графе "Количество чисел на одной перфокарте" стоит прочерк.

Номер оператора READ	Вводимая информация	Формат ввода	Количество чисел на одной перфокарте
I.	N, MB, MC, KB, KC	I2	-
2.	ICT, JCT	I2	-
3.	DL, TK	F9.5	-
4.	NTN	I2	-
5.	массив TN	F7.4	10
6.	MDL	I3	-
7.	массив AA	F9.5	6
8.	массив BB	F9.5	6
9.	массив CC	F9.5	6
10.	массив P	F9.5	6
II.	массив Q	F9.5	6
I2.	OS	F9.5	-
I3.	$TT1, TT2, TT3, TT4$	F9.5	-

Результатом счета являются вершины многоугольников $W_i^* = W_{\tau_i}^*$, где τ_i - заданные моменты обратного времени (массив TN). Для каждого τ_i информация на печать выдается в следующем виде:

I строка $T = (\tau_i)$

2 строка $MG =$ (число вершин $W_{t_i}^*$)

3 строка $SET W$

4 строка (координаты вершин $W_{t_i}^*$ по 5 пар
координат в строке. Формат F11.4)

После просчета вершин $W_{t_i}^*$ для последнего из заданных моментов обратного времени на печать выдается запись

FINISH. Если на i -ом шаге попыткой процедуры произошел обрыв моста, т.е. $W_i^* = \emptyset$, то на печать выдается сообщение **ANGLE BETWEEN VECTORS IS MORE OR EQUAL THAN PI** и счет прекращается. Если на

$i+1$ -ом шаге общее число нормалей к множествам W_i^* , P_i^* , Q_i^* превышает заранее указанное число MDL , печатается сообщение **ARRAY IS FULL OVER**, затем многоугольник W_i^* заменяется на приближенный с меньшим числом нормалей и счет продолжается.

Особенности программы

Среди управляющих карт мониторной системы должна быть карта ***CALL FICMEMORY**, обеспечивающая расширение стандартной памяти.

Тестовая задача

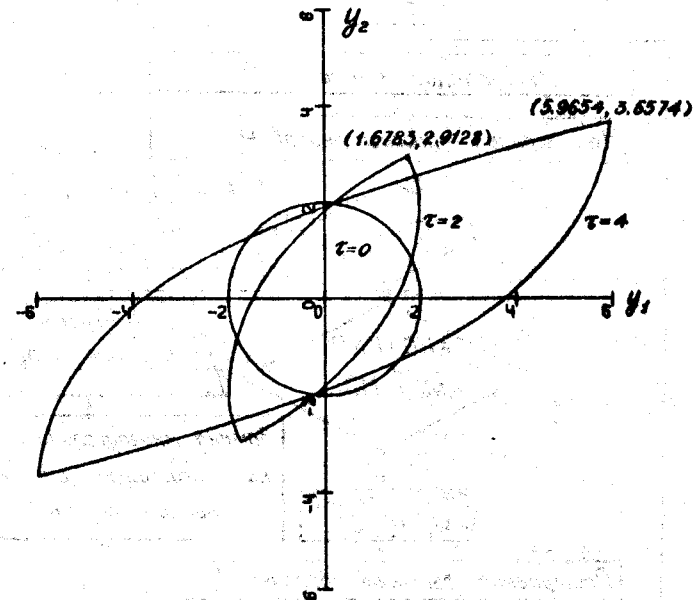
Рассмотрим дифференциальную игру второго порядка

$$\dot{x}_2 = x_2 + v$$

$$\dot{x}_2 = u$$

$$|u| \leq 1, |v| \leq 1$$

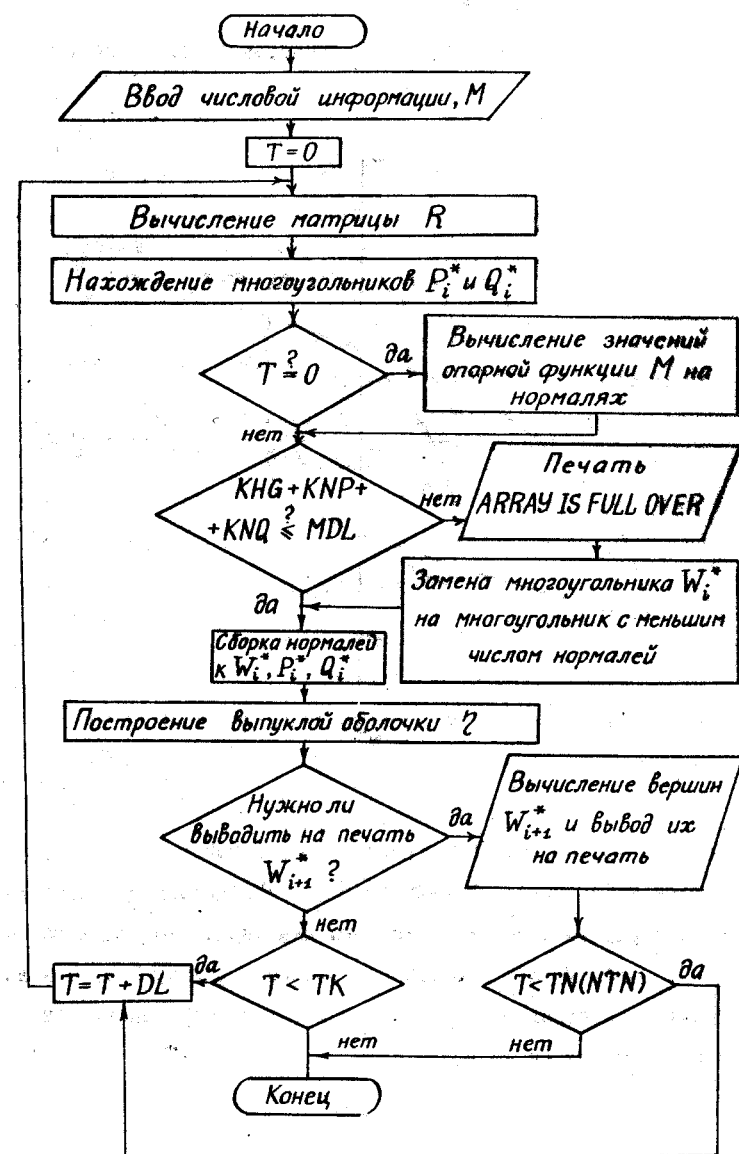
с моментом окончания $\vartheta = 4$. В качестве целевого множества M



возьмем правильный 100-угольник, вписанный в круг радиуса 2.

Первая точка имеет координаты (2,0). Множитель γ перед M примем равным 1. На рисунке показано множество M и сечения W_i^* для моментов обратного времени, равных 2,4. При вычислении полагалось $A = 0.05$. Рядом с характерными угловыми точками проставлены их координаты.

Блок - схема



ТЕКСТ ПРОГРАММЫ

```

PROGRAM IGRA
DIMENSION PPP(10,50),
PP0(10,50),F(1000),
AF(1000),NHPB(50)
DIMENSION PN1(40),
PN2(40),QN1(40),QN2(40)
,RN1(1000)
DIMENSION GN1(1000),
GN2(1000),GB1(1000),
GB2(1000)
DIMENSION PB1(40),
PB2(40),PB3(40),PB4(40)
,RN2(1000),TN(40)
DIMENSION QB1(40),
QB2(40),QB3(40),QB4(40)
,NHOM(50),NOM(50)
DIMENSION AA(10,10),
BB(10,10),CC(10,10),
R(2,10),P(10,50)
DIMENSION R1(10),R2(10),
RR(10),B(10),D(10),
Q(10,50)
COMMON/HOP/GN1,GN2,F
COMMON/HOM/NOM/ZAP/NHPB
COMMON/PP/PB3,PB4/QP/
QB3,QB4/G/GB1,GB2
COMMON/DP/ICT,JCT,N/AP/AA
COMMON//T,LOP
COMMON/DM/MDL
COMMON/F/PN1,PN2/Q/QN1,
QN2
COMMON/PAB/RN1,RN2,AF
EXTERNAL MU
1 FORMAT(5I2)
READ4,N,MB,NC,KB,KC
2 FORMAT(2I2)
335 FORMAT(10F7.4)
READ335,DL,TK
READ2,NTN
READ335,(TN(I),I=1,NTN)
DO 4444 I=1,NTN
4444 TN(I)=TN(I)-DL
336 FORMAT(2I3),
READ336,MDL
READ5,((AA(I,J),J=1,N),
I=1,N)
READ5,((BB(I,J),J=1,MB),
,I=1,N)
READ5,((CC(I,J),J=1,MC),
,I=1,N)
READ5,((P(I,J),J=1,KB),
,I=1,MB)
READ5,((Q(I,J),J=1,KC),
,I=1,MC)
READ5,OS
READ5,TT1,TT2,TT3,TT4
5 FORMAT(10F7.3)
CALL PAZB(OS,MG)
MG1=MG+2
T=0.
LOP=1
TTA=TK
III=1
FIR=0.
IF(MG-1)600,601,600
601GN1(2)--1.
GN2(1)=1.
QN1(1)=0.
GN2(2)=0.
GN1(3)=0.
GN2(3)=1.

```